

# Álbum Fotográfico

Documentación complementaria MAGNA  
hoja E.1:25.000

Punta del Muellito  
1096 IV (93-79)



Fotografía 1.- Panorámica de la ladera norte del barranco de Antigua, relieves miocenos del Cuchillete de Buenavista y Morro de La Casa. Contacto entre las coladas basálticas del Edificio Gran Tarajal (GT) y del Edificio Norte (N). Adosados al escarpe hay abundantes conos de deyección (CD) y -glacis encalichados.(C).(MIOCENO)



Fotografía 2.- Panorámica, desde otro ángulo, del Cuchillote de Buenavista y Morro de La Casa. En el centro de la fotografía, por delante de estos relieves, se observa el centro de emisión de Montaña Bermeja (B). Este edificio plioceno ha emitido coladas (C) que rellenaron el antiguo valle. A la derecha, se observa la discordancia (d) entre el Edificio Gran Tarajal (GT) y Norte (N). (Mioceno)





Fotografía 3.- Panorámica de la discordancia (d) en el Morro del Recogedero y Morros de Valle Sise. En la parte baja se observan las coladas alteradas y buzantes del tramo inferior (I). A la izquierda, coladas delgadas del tramo medio-superior (MS), y a la derecha, planchón masivo y discordante del Episodio tardío (T). (MIOCENO)

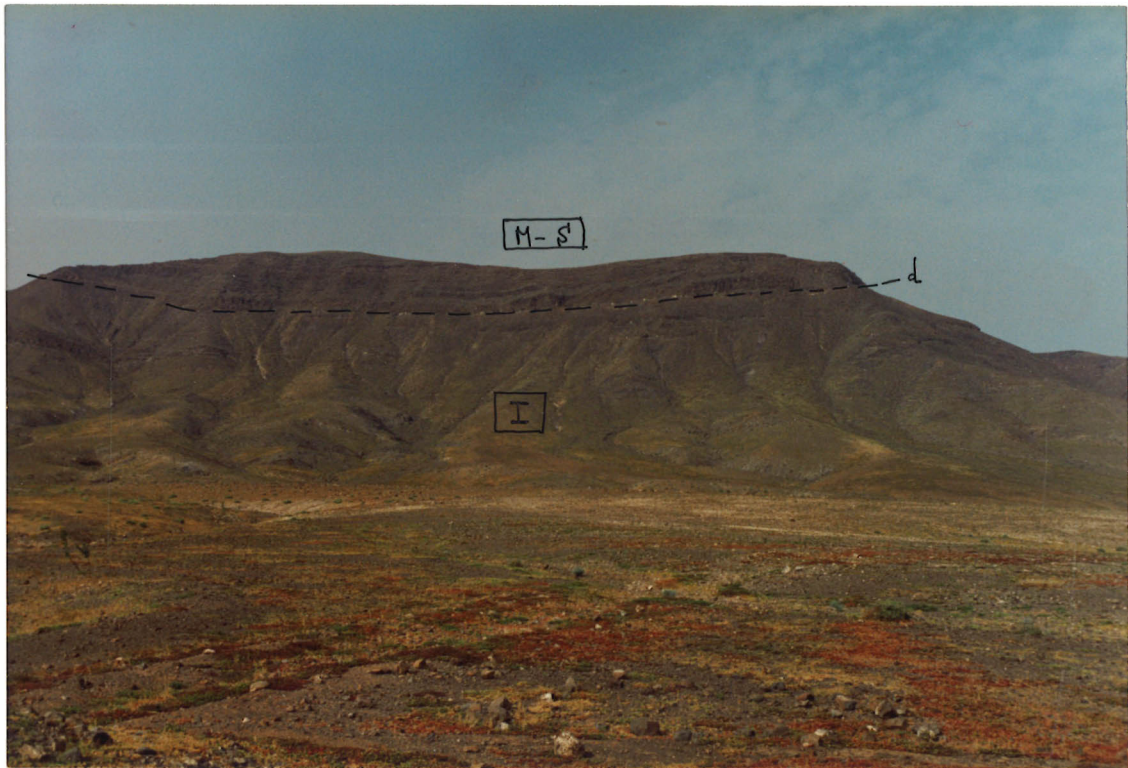


Fotografía 4.- Detalle de la fotografía anterior en el que se aprecia más claramente la discordancia entre los tramos inferior (I) y medio-superior (M-S) y entre estos últimos, y las coladas de los Episodios tardíos. (T). (MIOCENO)





Fotografía 5.- Panorámica de la ladera sur del barranco de Antigua. Apilamiento de coladas basálticas miocenas de los tramos: inferior y medio-superior. En el centro de la fotografía se observan depósitos de glacis-cono encalichados (C). (MIOCENO)



Fotografía 6.- Panorámica de la ladera N del barranco de Pozo Negro. Discordancia (d) entre los tramos inferior (I) y medio-superior (M-S) de la formación basáltica miocena en Morro de Valle Caballo. (MIOCENO)





Fotografía 7.- Aspecto del afloramiento de Traquitas (Tr) en el barranco de la Torre entre el apilamiento de coladas basálticas miocenas (C). (MIOCENO)





Fotografía 8.- Panorámica de la ladera sur del Morro de La Casa-Morrito de la Higuera. Discordancia entre las coladas basálticas miocenas del Edificio Gran Tarajal (GT) y del Edificio norte (N). En primer término se observan unas coladas pliocenas algo encalichadas (C). (MIOCENO)



Fotografía 9.- Acantilado en Bimboy. Depósitos de conglomerados pliocenos (P) sobre las coladas basálticas miocenas (C). (MIOCENO)



Fotografía 10.- Depósitos sedimentarios pliocenos en La Caleta de La Ballena. (PLIOCENO)





Fotografía 11.- Barranco de Antigua. Intercalación, de color claro, de lapilli basáltico (L) entre dos coladas pliocenas (C) del Edificio Montaña Bermeja.(PLIOCENO)



Fotografía 12.- Panorámica del Malpaís Chico. Coladas básicas procedentes de La Caldera de Gairía (G); (Edificio de Fase Reciente). Por delante, paleorelieve (P) de materiales miocenos. (HOLOCENO)





Fotografía 13.- Alternancia de niveles de limos, arenas y arcillas que rellenan una pequeña cuenca endorreica en la confluencia de los barrancos de La Arena y Las Cañadas. (CUATERNARIO)





Fotografía 14 .- Detalle de grietas de retracción en los materiales sedimentarios de la fotografía anterior.(CUATERNARIO)



Fotografía 15.- En primer término, explotación de áridos en las coladas pliocenas del barranco de Antigua. Al fondo, relieves miocenos del Cuchillete de Buenavista. (PLIOCENO)



Fotografía 16.- Panorámica de los cordones playeros en La Playa del Muellito y Puerto de La Torre. (CUATERNARIO)





Fotografía 17.- Vista aérea de La Playa de La Caleta de Fustes. (CUATERNARIO)